

## SSNL134 - Ruine élasto-plastique du portique de Lee

---

### Résumé

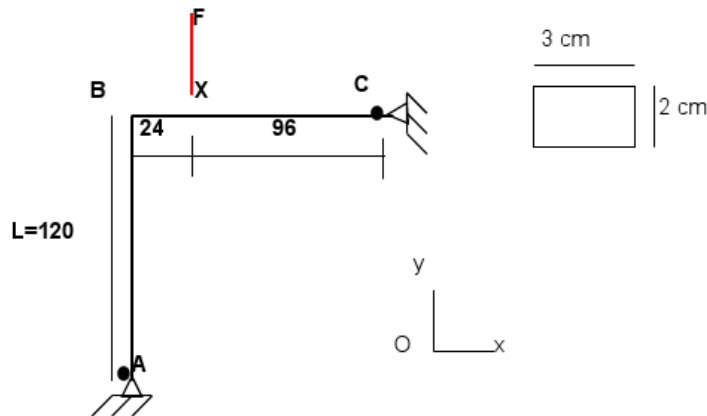
Ce test a pour but de valider simultanément les possibilités non-linéaires matériau et géométrique de l'élément de poutre multi-fibres `POU_D_TGM`. L'élément est mis en œuvre sur un cas-test couramment traité dans la littérature en ce qui concerne le comportement élastique car il présente une réponse complexe avec des *snap-back* et des *snap-through* : c'est le portique de Lee.

On suppose ici un comportement élasto-plastique du portique, ce qui permet de tester la bonne intégration de la loi de comportement des éléments multi-fibres mais aussi le traitement correct des grands déplacements. Les résultats obtenus font l'objet de comparaisons à des résultats issus de la littérature ainsi que de tests de non-régression.

## 1 Problème de référence

### 1.1 Géométrie

Le portique de Lee est un portique à 2 bras, articulé à ses extrémités :



Coordonnées des points (en  $cm$ ) :

	A	B	C	X
$x$	0	0	120	24
$y$	0	120	120	120

### 1.2 Caractéristiques de la section

Les bras sont à section rectangulaire de  $3\text{ cm}$  par  $2\text{ cm}$ . La section est orientée de telle sorte que l'axe d'inertie le plus faible est perpendiculaire au plan du portique.

$$\begin{aligned}
 A &= 6\text{ cm}^2 \\
 I_y &= 2.0\text{ cm}^4 \\
 I_z &= 4.5\text{ cm}^4 \\
 A_y &= 1.2 \\
 A_z &= 1.2
 \end{aligned}$$

### 1.3 Propriétés du matériau

$$\begin{aligned}
 E &= 720\text{ N/cm}^2 \\
 \nu &= 0.3 \\
 E_t &= 72\text{ N/cm}^2 \\
 \sigma_e &= 10.44\text{ N/cm}^2
 \end{aligned}$$

### 1.4 Conditions aux limites et chargement

- Des conditions aux limites sont imposées aux points  $A$  et  $C$  (articulation autour de  $Oz$ ) :

$$DX = DY = DZ = DRX = DRY = 0$$

- 2) On impose au point  $X$  un chargement vertical  $F$  :

$$FY = C \times t$$

La constante  $C$  correspond au coefficient de pilotage déterminé par exemple par une méthode de longueur d'arc. En effet, cette structure présente une réponse complexe sous chargement non monotone.

## 2 Solution de référence

### 2.1 Méthode utilisée pour le calcul de la solution de référence

Ce portique a été étudié pour la première fois en 1968 par Lee[1], qui a proposé une solution analytique dans le cas élastique et en négligeant l'énergie de déformation due à l'effort normal. Depuis, plusieurs autres auteurs ont à leur tour étudié la structure, en particulier en 1984, Cichon[2] fût le premier à proposer une solution en considérant un comportement élasto-plastique.

### 2.2 Résultats de référence

On s'intéresse aux déplacements horizontaux et verticaux dans le repère global du point  $X$  pour différentes valeurs de la force appliquée.

On présente ci-dessous un tableau récapitulatif des résultats obtenus par Cichon ainsi que par Waszczyszyn et Janus-Michalska[3]. On choisit comme référence la moyenne de ces deux résultats figurée en **gras**.

Déplacement ( cm )	U (horizontal)			V (vertical)		
	Waszczyszyn	Cichon	Moyenne	Waszczyszyn	Cichon	Moyenne
F ( N )						
0,968	1,812	1,734	<b>1,773</b>	10,414	10,078	<b>10,246</b>
1,242	3,482	3,913	<b>3,6975</b>	15,61	16,639	<b>16,1245</b>
1,4153	6,281	6,711	<b>6,496</b>	22,305	23,344	<b>22,8245</b>
1,507	12,516	13,836	<b>13,176</b>	38,804	36,501	<b>37,6525</b>
1,4605	19,025	18,148	<b>18,5865</b>	44,18	42,543	<b>43,3615</b>
1,4006	23,104	23,073	<b>23,0885</b>	49,262	47,374	<b>48,318</b>
1,3151	28,998	28,303	<b>28,6505</b>	53,012	51,102	<b>52,057</b>
1,1062	39,266	37,765	<b>38,5155</b>	58,904	56,181	<b>57,5425</b>
0,9275	46,871	44,831	<b>45,851</b>	61,775	58,442	<b>60,1085</b>

### 2.3 Incertitude sur la solution

Entre 1 et 5% (écart relatif maximal à la moyenne des résultats).

### 2.4 Références bibliographiques

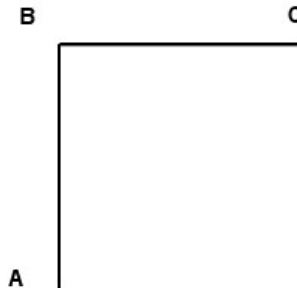
- 1 Lee S., Manuel F. S., and Rossow E. C. "Large deflections and stability of elastic frames." *J. Engrg. Mech. Div., ASCE*, 1968;EM2, 521-547.
- 2 Cichon Cz. "Large displacements in-plane analysis of elasto-plastic frames". *Comp Struct* 1984;19,737-45.
- 3 Waszczyszyn Z., Janus-Michalska M. "Numerical approach to the 'exact' finite element analysis of in-plane finite displacements of framed structures". *Comput. Struct.* 1998;69, 525-535.

## 3 Modélisation A

---

### 3.1 Caractéristiques de la modélisation

Modélisation POU\_D\_TGM



Découpage : 10 éléments dans le poteau et dans la poutre

### 3.2 Caractéristiques du maillage

Nombre de nœuds : 21  
Nombre de mailles et types : 20 SEG2

### 3.3 Caractéristiques du maillage de la section transverse

Nombre de fibres : 100 (découpage en 10 de chaque côté)  
Nombre de mailles et types : 100 QUAD4

## 3.4 Grandeurs testées et résultats

Les résultats sont obtenus par un découpage automatique du pas de temps et avec pilotage par longueur d'arc de la réponse globale en déplacement de la structure.

Déplacement	Identification	Référence	Type de référence	Tolérance
1,773	DX	0,968	' SOURCE EXTERNE '	5 %
10,246	DY	0,968	' SOURCE EXTERNE '	5 %
3,6975	DX	1,242	' SOURCE EXTERNE '	5 %
16,1245	DY	1,242	' SOURCE EXTERNE '	5 %
6,496	DX	1,4153	' SOURCE EXTERNE '	5 %
22,8245	DY	1,4153	' SOURCE EXTERNE '	5 %
13,176	DX	1,507	' SOURCE EXTERNE '	5 %
37,6525	DY	1,507	' SOURCE EXTERNE '	5 %
18,5865	DX	1,4605	' SOURCE EXTERNE '	5 %
43,3615	DY	1,4605	' SOURCE EXTERNE '	5 %
23,0885	DX	1,4006	' SOURCE EXTERNE '	5 %
48,318	DY	1,4006	' SOURCE EXTERNE '	5 %
28,6505	DX	1,3151	' SOURCE EXTERNE '	5 %
52,057	DY	1,3151	' SOURCE EXTERNE '	5 %
38,5155	DX	1,1062	' SOURCE EXTERNE '	5 %
57,5425	DY	1,1062	' SOURCE EXTERNE '	15 %
45,851	DX	0,9275	' SOURCE EXTERNE '	5 %
60,1085	DY	0,9275	' SOURCE EXTERNE '	55 %

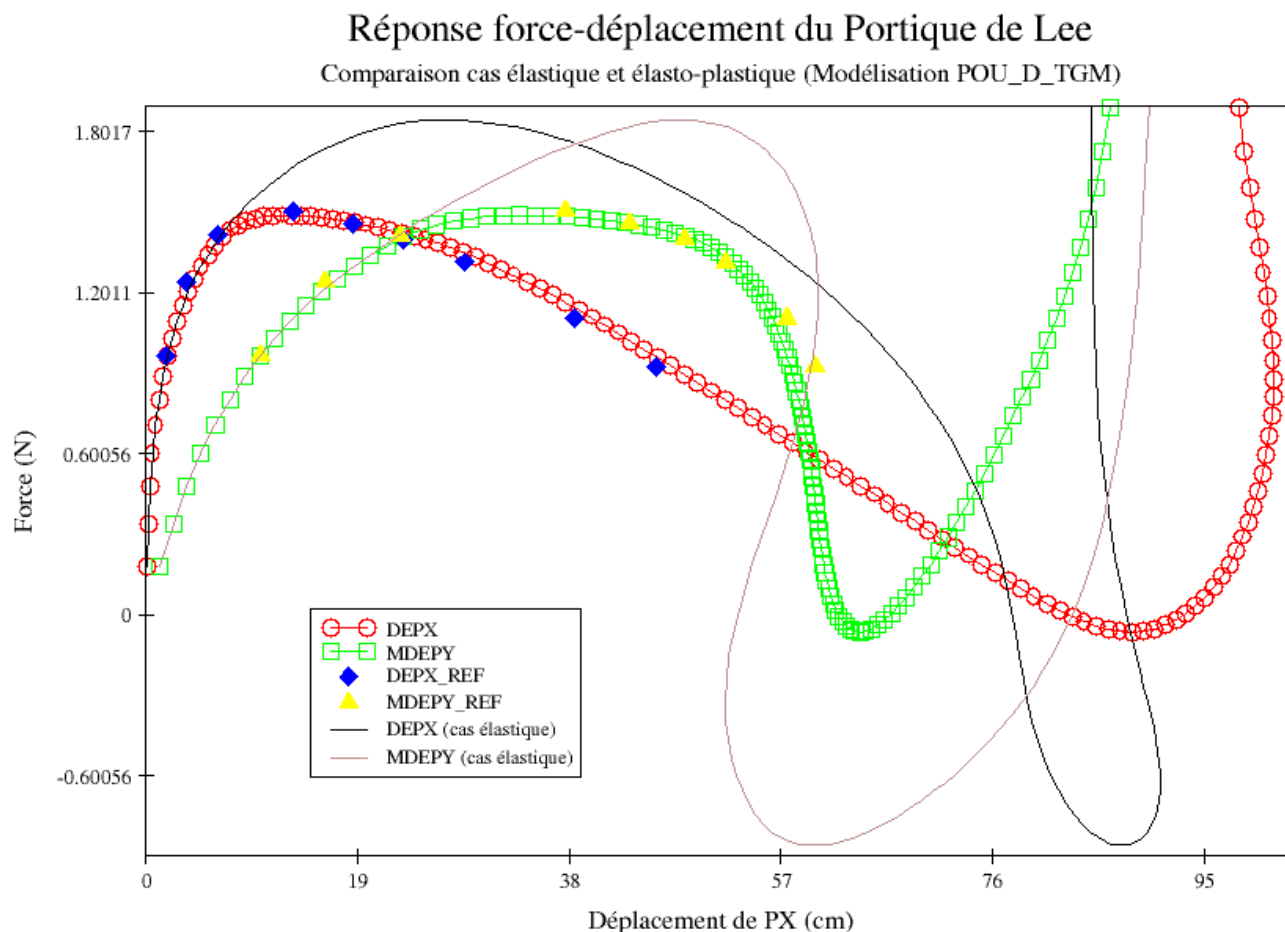
## 3.5 Remarques

L'utilisation de la technique de longueur d'arc rend difficile la définition de la valeur de référence à introduire dans la commande `TEST_RESU`, puisque ces valeurs ne peuvent pas être imposées. Les tests ont donc été faits à l'envers en choisissant comme paramètre les valeurs de déplacements et comme valeur testée la valeur de la force (c'est-à-dire `ETA_PILOTAGE`).

C'est cette manière de tester qui explique les différences élevées constatées en *DY* aux derniers instants alors que les courbes se superposent parfaitement.

## 4 Synthèse des résultats

### 4.1 Comparaison avec le cas élastique



On présente ci-dessus une représentation graphique de la réponse force-déplacement du portique de Lee où l'on a fait figurer la réponse dans le cas d'une structure élastique (obtenue avec la même modélisation dans *Code\_Aster*).

Il est intéressant de remarquer comme l'adjonction du comportement élasto-plastique modifie complètement la réponse de la structure dès la première plastification.

### 4.2 Synthèse

Globalement l'erreur commise sur les déplacements ne dépasse jamais 5% qu'il faut comparer à l'incertitude sur la solution qui est d'environ 5%. De plus comme on l'a expliqué, réaliser des tests sur des valeurs est difficile en présence de pilotage.

Si on observe la figure ci-dessus, on remarque une bonne corrélation entre la réponse de référence et celle obtenue par *Code\_Aster*. On décrit notamment bien le changement d'allure due à la première plastification.